

# I-210 鋼床板の最小重量設計について

大阪市土木局 正員 近藤和夫  
大阪市土木局 正員 加藤隆夫

## 1. まえがき

鋼床板は、一般にデッキプレートとこれを補剛する縦、横のリブから構成されている。このような構造の最小重量設計では、制約条件に適合した最適のリブ配置と共に、これに対する最小のリブ断面を同時に求めなければならない。この考え方に基づく設計法には、従来 E. Schlaich の研究があり、この種の問題に対する基本的な考え方を示すものとして注目される。われわれは、格子理論を用いてこの問題を検討し、鋼床板の最小重量設計に関する実用解式と我が国の鋼道路橋設計示方書案（以下鋼道示と略称する）の設計荷重に対する二、三の数値計算結果を得た。以下にその概要を報告する。

## 2. 制約条件、目的関数と解法

鋼床板の最小重量設計に関する制約条件としては、大きく分けて、①断面力と断面の力学諸量および許容応力度との関係、②鋼床板の局部および全体座屈に対する安全性、③板およびリブのたわみ制限、などがあげられる。しかし、断面決定に着眼する場合には、デッキプレートに関する板厚制限を別として、④⑤の条件はほとんど問題にならないと考えられる。またすべての条件を同時に取り扱うことは、解析および数値計算上相当困難を来たすことになるので、ここでは、⑥の条件のみを考慮し、他の条件については、補足的に照査する方法を用いることにした。この⑥の条件に対しては、さらに、鋼床板の構造、鋼道示の規定、設計経験などから考案を加え、以下のよう問題を整理し、簡略化することとした。（図-1 参照）

- ① 横リブスパンとは設計条件として与える。
- ② 縦リブ間隔は既知とする。
- ③ デッキプレートの厚さおよび各リブの腹板の厚さは既知とする。
- ④ デッキプレートの各リブに対する有効幅は鋼道示による。

⑤ 設計断面力としては、断面決定に最も支配的な曲げモーメントのみに着目し、せん断力に対しては補足的に照査する。

- ⑥ 各リブに対して、下線の許容応力度を設計条件として与え、上線については許容応力度を規定せず、求まつた断面を用いて照査する。（上線では、主軸作用を考慮した合成許容応力度から、主軸に関する許容応力度分を差し引いても、なお床板作用に対して相当の余裕が残ると考えられる）
- ⑦ 各リブの断面形状としては、図-2 に示すものをとりあげる。

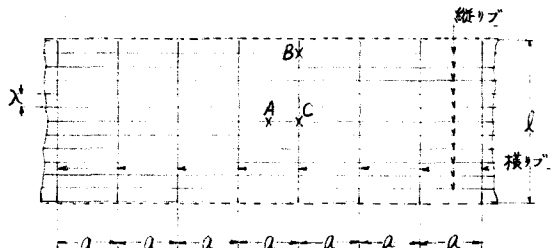


図-1 鋼床板の平面図

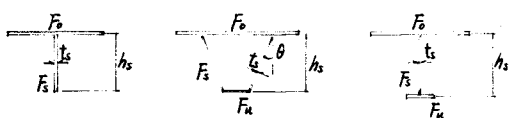


図-2. リブの断面形状

合計断面積を考える。これを式で表わすとつきのようになる。

最小重量設計は、 $A$ を最小にするリブ配置(横リブ間隔 $\lambda^*$ )、リブ断面積( $F_{L1}^*$ ,  $F_{L2}^*$ ,  $F_{ea}^*$ ,  $F_{ea}^*$ )を求めるこ<sup>ト</sup>によって得られる。この問題を解くには、各リブの断面力を求める計算が複雑になるため、逐次近似計算によることが実用的と考えられる。計算の手順を示すとつぎのようになる。

①目的的函数を最小にするリブ開隔と各リブの設計曲げモーメントと各リブの剛性の影響を考慮した解析法で求めた。この計算は逐次近似法による。計算の各段階において各リブの断面積が、断面力に対して最小値となるように、リブの剛度を修正することは言うまでもない。

② ①で求めた最終設計曲げモーメントにより、最小のリブ断面を計算する。

### 3. 計算式

最小重量設計を行なう上には、設計断面力およびそれにに対する部材の最小断面を求める必要がある。

#### (1) 鋼床板の設計曲線モーメント.

図-1に示すよろは、二端で単純支持され、7~8本の横リブを想定した鋼床板に着目し、H. Homburg<sup>2)</sup>の荷重分配横行が無限に密にある場合の解法を近似的に適用して、リブの設計曲げモーメントを求める。

#### (i) 縦リブの設計曲げモーメント

④ 繰り返すスパン中央の設計曲げモーメント (着目実A)

$$M_L = m_L \alpha P, \quad m_L = 0.171\beta + 2\alpha f(u)f(z)\frac{\lambda}{P} + \frac{\lambda \alpha \beta}{24P} \quad \dots \dots \dots \quad (2)$$

式(2)の  $M_{ij}$ において、第1項は静定基本系、第2項は格子作用、第3項は死荷重に關係する値である。また、 $B$  はデッキプレートによる荷重分配を考慮した係数、又は剛支点上の連續構の支点反力に関する係数、 $\alpha$  は織りアーチに対する死荷重強度、 $P$  は荷重および割増しを考慮した後輪荷重を示す。さらに  $f(1)$  や  $f(2)$  は、それぞれ輪荷重配置、交差剛比に關係する係数で次式で表わされる。

$$f(u) = \sum_{i=1}^m u_i \sin \frac{\pi i u}{L}, \quad i=1, \dots, m \quad \text{輪荷重の数}, \quad u_i: \text{輪荷重の位置}$$

$$f(z) = \frac{19z+49z^2+6z^3}{71+330z+194z^2+4z^3} \quad z = 0.0616 \cdot \frac{I_L^3 - I_a^3}{I_a^2 - I_L^2}, \quad \text{ここで } I_L, I_a; \text{ 縦横リブの断面=次モード}$$

(b) 縦リブの支承上の設計曲げモーメント. (着目点B)

$$|M_L| = m_L \alpha_P, \quad m_L = 0.851 \beta + \frac{\lambda_{\text{eff}}}{12P} \quad \dots \dots \dots \quad (3)$$

この場合には格子作用による影響を無視し、単に、剛支点上の連続桁の解を用いている。

(ii) 横リブの設計曲線モーメント、(着目点、C)

$$M_{\alpha} = M_{\alpha} \in P \quad M_{\alpha} = g(u) - \frac{2}{\pi^2} f(u) g(z) + \frac{\alpha f g_a}{8P} \quad \dots \dots \dots \quad (4)$$

式(4)の  $m_2$  の第1項は静定基本系、第2項は格子作用、第3項は死荷重に関係する値、 $\eta_2$  は横リブに対する死荷重強度を示す。また  $g(u)$  および  $g(z)$  は、それと共に、輪荷重配置、交差剛比に関係する値で次式で表わされる。

$$g(u) = \frac{1}{2\ell} \sum_{e=1}^m \widetilde{u}_e \quad ; \quad \vdash \vdash \vdash, \quad \widetilde{u}_e = u_e, \quad u_e \leq \frac{\ell}{2} \quad \quad \widetilde{u}_e = \ell - u_e, \quad u_e > \frac{\ell}{2}.$$

$$g(z) = \frac{62z + 124z^2 + 6z^3}{26 + 193z + 196z^2 + 7z^3}$$

なお、式(2),(4)の第2項は厳密には級数で与えられるが、計算を容易にするために、近似的に第1項のみを考慮することにした。

(2) 設計曲げモードに対するリブの最小断面

曲げモーメント  $M$  を既知とみなし、図-2に示すリブ断面について、デッキプレートを除いた断面積が最小になる条件から、各リブの断面諸量を求めるとつきのようになる。

(i) T形断面 [図-2(a)]

$$F_s^* = \sqrt{\frac{6M t_s(2F_0+F_2)}{\sigma_u(4F_0+F_2)}}, \quad h_s^* = \frac{F_s^*}{t_s} \quad \dots \dots \dots (5)$$

(ii) U形断面 [図-2(b)]

$$F_s^* = \sqrt{\frac{3M t_s(F_0+F_2)}{5\sigma_u(0.09(4F_0+3F_2))}}, \quad h_s^* = \frac{F_s^* t_s}{t_s} \quad F_d^* = \frac{3M(F_0+F_2)}{5\sigma_u t_s(3F_0+2F_2)} - F_s^* \frac{2F_0+F_2}{3F_0+2F_2} \quad \dots \dots \dots (6)$$

(iii) I形断面 [図-2(c)]

$$F_s^* = \sqrt{\frac{6M t_s(2F_0+F_2)}{\sigma_u(8F_0+3F_2)}}, \quad h_s^* = \frac{F_s^*}{t_s}, \quad F_d^* = \frac{3M(2F_0+F_2)}{2\sigma_u t_s(3F_0+F_2)} - \frac{F_s^*(4F_0+F_2)}{4(4F_0+F_2)} \quad \dots \dots \dots (7)$$

ただし、ここで  $\sigma_u$  はリブ下縁の許容応力度、また \*印は最小断面であることを示す。  $F_s^*$  の式で、 $\sqrt{\cdot}$  内に含まれる  $F_s$  には仮定値を用い、求まつた  $F_s$  をさらに仮定値として逐次計算することにより、精度の高い解が得られる。  $F_s$  の仮定値には  $F_0 \gg F_s$  とみなして求まる  $F_s$  を用いると有効である。

(3). 最小重量設計。

式(1)の目的関数  $A$  に、式(2),(3),(4)などの設計曲げモーメント、式(5),(6),(7)などの断面諸量を代入し、リブ配置  $\alpha$  (横リブ周開) の最適値  $\alpha^*$  を求めるために、 $\frac{\partial A}{\partial \alpha} = 0$  を解くことにより次式が得られる。

$$\alpha^* = \sqrt[3]{4M\phi\left(\frac{m_L m_a}{m_a m_L}\right)} \lambda L^2 \quad \dots \dots \dots (8)$$

ここで、 $\mu, \phi$  は断面の形状、 $m_L, m_a$  はリブの設計曲げモーメントに応じて次式で表わされる。

$$\bar{m}_L: \text{縦リブスパン中央}, \quad \bar{m}_L = 0.171\beta - 2\alpha f(u) F(z) \frac{\lambda}{L} + \frac{\lambda u g_L}{12P}, \quad F(z) = 3f'(z)z - f(z)$$

$$\text{縦リブ支点上}, \quad \bar{m}_L = 0.0851\beta + \frac{\lambda u g_L}{6P}$$

$$\bar{m}_a: \text{横リブスパン中央}, \quad \bar{m}_a = g(u) - \frac{1}{6}f(u)g(z) + \frac{u g_L}{16P} \quad G(z) = 2g(z) + 3g(z)z$$

T形断面縦リブとI形断面横リブを用いる場合の  $\mu, \phi$

$$\mu = \frac{8\sigma_u t_s \bar{m}_L}{9\sigma_u t_s \bar{m}_a}, \quad \phi = \frac{(F_{0L} + 0.4330T_L)(F_{0L} + 0.6124T_a)X_{0L} + 0.4593T_a}{(F_{0L} + 0.8660T_L)(T_{0L} + 0.4082T_a)^2}, \quad T_L = \sqrt{\frac{M_L t_s \bar{m}_L}{\sigma_u \bar{m}_a}}, \quad T_a = \sqrt{\frac{M_a t_s \bar{m}_a}{\sigma_u \bar{m}_a}}$$

U形断面縦リブとI形断面横リブを用いる場合の  $\mu, \phi$

$$\mu = \frac{\sigma_u t_s \bar{m}_L}{2\sigma_u t_s \bar{m}_a}, \quad \phi = \frac{(F_{0L} + 0.5774T_L)(F_{0L} + 0.6124T_a)(F_{0L} + 0.4593T_a)}{(F_{0L} + 0.8660T_L)(T_{0L} + 0.6495T_a)(T_{0L} + 0.4082T_a)^2}, \quad T_L = \sqrt{\frac{M_L t_s \bar{m}_L}{\sigma_u \bar{m}_a}}, \quad T_a = \sqrt{\frac{M_a t_s \bar{m}_a}{\sigma_u \bar{m}_a}}$$

I形断面縦リブとI形断面横リブを用いる場合の  $\mu, \phi$

$$\mu = -\frac{\sigma_u t_s \bar{m}_L}{\sigma_u t_s \bar{m}_a}, \quad \phi = \frac{-(F_{0L} + 0.4092T_L^2)(F_{0L} + 0.6124T_a)(F_{0L} + 0.4593T_a)}{(T_{0L} + 0.6124T_a)(T_{0L} + 0.4593T_a)(T_{0L} + 0.4082T_a)^2}, \quad T_L = \sqrt{\frac{M_L t_s \bar{m}_L}{\sigma_u \bar{m}_a}}, \quad T_a = \sqrt{\frac{M_a t_s \bar{m}_a}{\sigma_u \bar{m}_a}}$$

ただし、 $\phi$  の値は  $F_0 \gg F_s$  のとき近似的に  $\phi = 1$  とすることができる。また、添字 I, II はそれぞれ、縦横のリブに関する量であることを示す。式(8)は右辺の  $\beta$  の中に  $\alpha$  および  $\alpha$  の関数が含まれているので逐次近似法を用いる。その際に、逐次計算の途上で、交叉剛比を修正するには、各段階の曲げモーメントに対して、最小断面に関する断面モーメント比を計算することが必要である。 $\psi_{I,II}$  はリブの断面形状に応じて次式で表わされる。

T形断面縦リブとI形断面横リブを用いる場合。

$$\frac{I_L}{I_a} = \frac{\sqrt{2}S_L T_L}{S_a T_a} \psi, \quad S_L = \frac{M_L}{\sigma_u t_s \bar{m}_L}, \quad S_a = \frac{M_a}{\sigma_u t_s \bar{m}_a}, \quad \psi = \frac{(F_{0L} + 0.8660T_L)(F_{0L} + 0.4593T_a)(F_{0L} + 1.6320T_a)}{(F_{0L} + 0.1932T_L)(F_{0L} + 0.6124T_a)(F_{0L} + 0.3572T_a)} \quad \dots \dots \dots (9)$$

U形断面縦リブとI形断面横リブを用いる場合

$$\frac{I_L}{I_a} = \frac{S_L T_L}{T_a S_a} \psi, \quad S_L = \frac{M_L}{\sigma_u t_s \bar{m}_L}, \quad S_a = \frac{M_a}{\sigma_u t_s \bar{m}_a}, \quad \psi = \frac{(F_{0L} + 0.8660T_L)(T_{0L} + 0.5052T_a)(F_{0L} + 0.4593T_a)(F_{0L} + 1.6320T_a)}{(F_{0L} + 0.6495T_L)(T_{0L} + 2.3094T_a)(F_{0L} + 1.6124T_a)(T_{0L} + 0.3572T_a)} \dots \dots \dots (10)$$

I形断面縦リブとI形断面横リブを用いる場合。

$$\frac{I_L}{I_a} = \frac{S_L T_L}{S_a T_a} \psi, \quad S_L = \frac{M_L}{\sigma_u t_s \bar{m}_L}, \quad S_a = \frac{M_a}{\sigma_u t_s \bar{m}_a}, \quad \psi = \frac{(F_{0L} + 0.6124T_L)(T_{0L} + 0.3572T_a)(F_{0L} + 0.4593T_a)(F_{0L} + 1.6320T_a)}{(F_{0L} + 0.4593T_L)(T_{0L} + 1.6320T_a)(F_{0L} + 0.6124T_a)(T_{0L} + 0.3572T_a)} \dots \dots \dots (11)$$

ここで  $\gamma$  の値は  $F_0 \gg F_1$  のとき近似的に  $\gamma = 1$  とすることができます。

以上の各式を用いて、最小重量設計は図-3に示す計算手順により求めることができます。

## 十、数値計算

表-1に示すよろしき設計条件を想定し、数値計算を行なった結果の一部を表-2に示す。ただし、荷重は後輪荷重のみとし、車軸、重輪油圧を考慮して、横断方向に乘りうるだけ載荷することとした。

種類	主材の曲げモーメント	横断面	$I$ (cm) <sup>4</sup>	$\lambda$ (cm)	$P$ (kg)	$q_L$ (kg/cm)	$q_R$ (kg/cm)	$t_{SL}$ (cm)	$t_{SR}$ (cm)	$\alpha$	$B$	$G_{SL}$ (kg/cm)	$G_{SR}$ (kg/cm)	$\theta$ (度)
CASE 1 正 口 I	300~1000	60	13440	0.029	0.032	0.6	0.8	0.6	0.6	1.0	1900	1400	15	
CASE 2 " " "	"	30	"	"	"	0.8	"	"	"	0.665	"	"	"	-
CASE 3 負 口 I	"	60	"	"	"	0.6	"	"	"	1.0	1000	"	"	15
CASE 4 " " "	"	30	"	"	"	0.8	"	"	"	0.665	"	"	"	-

表-1. 設計条件. 注: 主材の曲げモーメントが負の領域に対するものは削除している. 総引張りの設計曲げモーメントはいずれもスパン中央に着目する.

項目	300	400	500	600	800	1000	項目	300	400	500	600	800	1000	項目	300	400	500	600	800	1000
CASE 1	1 169.9 192.8 213.4 237.1 289.3 327.4	CASE 1 167.3 17.98 19.05 20.15 22.15 23.81	CASE 1 10.89 13.53 16.10 19.14 25.71 32.28																	
$I^*$ 2	1302. 146.7 162.4 179.7 213.8 245.9	$I^*$ 2 15.22 16.80 17.41 18.93 20.25 21.75	$I^*$ 2 9.945 12.15 14.34 16.91 23.47 28.19																	
(cm)	3 135.3 154.8 173.2 192.8 230.4 264.4	(cm) 3 23.06 25.28 27.06 28.85 31.92 32.21	(cm) 3 8.950 10.90 12.91 15.20 20.13 25.80																	
4 109.2 126.4 142.1 158.3 189.0 216.5	4 21.65 23.88 25.65 27.45 30.54 32.74	4 8.265 10.05 11.88 13.90 18.23 22.89																		
CASE 2	1 0.143 0.07599 0.05272 0.03492 0.02014 0.01260	CASE 1 10.37 11.17 11.83 12.52 13.76 14.79	CASE 1 28.02 30.14 31.74 33.82 37.22 40.03																	
$I^*$ 2	0.07351 0.04927 0.03668 0.02555 0.01639 0.00705	$I^*$ 2 12.18 13.12 13.93 14.75 16.20 17.40	$I^*$ 2 16.44 17.73 18.84 19.96 21.96 23.60																	
(cm)	3 0.56558 0.3570 0.25599 0.1901 0.10994 0.06779	(cm) 3 14.32 15.70 16.81 17.92 19.83 21.25	(cm) 3 38.76 42.53 45.58 48.64 53.90 57.54																	
4 0.3263 0.2358 0.1738 0.1312 0.08780 0.04903	4 17.32 19.10 20.52 21.96 24.83 26.19	4 23.49 25.95 27.91 29.90 33.32 35.77																		
CASE 3	1 0.2052 0.2786 0.3479 0.3681 0.3684 0.3685	CASE 1 7.82 7.796 8.278 8.790 9.693 10.445	CASE 1 42.18 52.50 62.89 72.25 95.97 124.8																	
$I^*$ 2	0.5591 0.802 1.062 1.192 1.235 1.269	$I^*$ 2 9.264 9.609 9.707 5.210 5.753 6.203	$I^*$ 2 39.58 47.16 55.63 55.49 86.85 104.8																	
(cm)	3 1.699 2.516 3.191 3.529 3.762 3.764	(cm) 3 10.11 11.13 11.96 12.80 14.25 15.33	(cm) 3 34.82 42.44 52.27 57.14 78.22 88.13																	
4 4.174 6.133 7.776 8.809 9.791 9.887	4 6.723 6.897 7.287 7.940 8.594 8.585	4 32.15 39.11 46.41 54.03 70.77 88.62																		
CASE 4	1 4.266 4.919 5.509 6.156 7.444 8.559	CASE 1 39.11 48.71 57.99 68.89 92.33 115.7	CASE 1 56.14 60.91 64.98 68.85 76.18 82.51																	
$M^*$ 2	2.262 2.619 2.949 3.296 3.766 4.456	$M^*$ 2 38.79 43.76 51.62 60.79 80.60 100.8	$M^*$ 2 66.28 71.61 76.18 80.85 89.37 96.89																	
(kgm)	3 4.221 5.054 5.779 6.551 7.844 9.144	(kgm) 3 32.34 38.93 46.70 58.93 72.61 91.05	(kgm) 3 70.91 77.17 82.42 87.73 97.19 104.8																	
4 2.399 2.882 3.815 3.785 4.658 5.326	4 29.86 36.22 42.91 50.19 65.65 82.18	4 84.60 92.18 98.56 105.0 116.6 125.7																		
CASE 5	1 11.07 17.19 24.37 34.36 61.63 96.66	CASE 1 31.29 38.97 46.59 55.11 73.86 92.56	CASE 1 150.3 155.0 157.0 163.0 170.4 176.5																	
$M^*$ 2	9.275 13.87 19.30 26.74 34.91 73.22	$M^*$ 2 28.63 36.80 44.29 50.63 68.43 82.62	$M^*$ 2 160.5 165.8 170.4 175.1 182.2 190.2																	
(kgm)	3 7.596 11.30 15.85 21.92 38.24 60.03	(kgm) 3 25.87 31.54 37.36 40.75 58.05 76.84	(kgm) 3 165.1 171.4 176.6 181.9 191.4 199.0																	
4 6.492 9.822 13.37 18.67 31.26 48.95	4 23.89 29.06 34.33 40.14 56.56 65.75	4 179.8 186.4 194.8 199.2 20.8 219.9																		

表-2. 計算結果. 注:  $F^* = F_0 + F_{SL}$ ,  $F_S = F_{SL} + F_{SR}$ ,  $W^*$ : 合計リブ断面の単位重量,  $W^{\#}$ : 全鋼床版の単位重量.

## 5 あとがき

鋼床版の最小重量設計に沿う理論を適用し、計算式と数値計算結果を示した。座屈、ねじれなどに関する検査は安全側にあり、これに対する検討は紙面の都合で省略した。曲げモーメントの計算式は他の解法(W. Pelican, M. Epplinger)による場合と比較して良好な一致を示し、また逐次近似計算七回の繰返して所期の値が得られるので十分実用に供し得るものと思われる。 $f(z), g(z), F(z), G(z)$ などの値を  $Z=1$ について、あらかじめ、図表化しておけば、手計算によることも容易である。

参考文献 1) E. Grönke; Zur Optimalen Auslegung von Fahrbahnbrettern. Der Stahlbau Heft 6 1960

2) H. Hornberg, J. Weinmeister; Einflussflächen für Kreuzwerke. Springer 1956

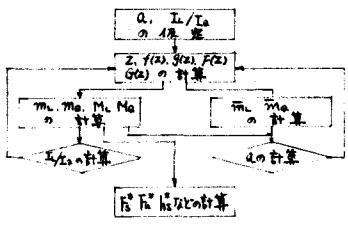


図-3 計算の手順